



# Síntese de Tungstato de Manganês por Rotas Hidrotérmica e Assistida por Microondas para Aplicação como Nanocatalisador na Geração de Hidrogênio a partir de NH3BH3 e HCOOH

Jorge L. dos Santos\*(PG)<sup>1</sup>, Noemí C. S. de Souza (PG)<sup>1</sup>, Marcela O. B. Cortez (PG)<sup>1</sup>, Lavínia N. Louzada (PG)<sup>1</sup>, Kleryton L. A. de Oliveira (PG)<sup>1</sup>, Gessica do C. Dias (PG)<sup>1</sup>, Renata P. L. Moreira (PQ)<sup>1</sup>.

\*jorge.l.santos@ufv.br1

<sup>1</sup>Universidade Federal de Viçosa (UFV)

#### **RESUMO**

Neste trabalho, o MnWO<sub>4</sub> foi empregado como suporte para nanopartículas (NPs) metálicas, sendo sintetizado por duas metodologias distintas: hidrotérmica (HT) e assistida por microondas (MW). As NPs foram obtidas por redução química: Ru NPs foram utilizadas na desidrogenação do borano de amônio (BA) e Pd NPs na desidrogenação do ácido fórmico (AF). As análises por FTIR e DRX confirmaram a formação da fase wolframita monoclínica em ambos os materiais. Nos ensaios catalíticos, o catalisador Ru NPs/MnWO<sub>4</sub>-MW apresentou uma taxa de geração de hidrogênio (HGR) de 29.784 mL·min<sup>-1</sup>·g<sup>-1</sup> na desidrogenação do BA, superando os 27.298 mL·min<sup>-1</sup>·g<sup>-1</sup> obtidos com o Ru NPs/MnWO<sub>4</sub>-HT. Para a desidrogenação de AF, Pd NPs/MnWO<sub>4</sub>-MW alcançou uma frequência de giro (TOF) de 102 h<sup>-1</sup>, em comparação a 66 h<sup>-1</sup> do Pd NPs/MnWO<sub>4</sub>-HT, evidenciando a superioridade catalítica dos suportes preparados via microondas.

Palavras-chave: catálise heterogênea, armazenamento de hidrogênio, nanomateriais.

### Introdução

A substituição da matriz energética baseada em combustíveis fósseis é uma demanda ambiental urgente, e o H<sub>2</sub> desponta como uma fonte de energia promissora. No entanto, devido às suas propriedades físico-químicas, seu armazenamento e transporte ainda representam grandes desafios. Nesse contexto, compostos químicos capazes de armazenar hidrogênio e liberá-lo de forma controlada, como o borano de amônio (BA) e o ácido fórmico (AF), têm se mostrado alternativas atrativas. As reações de desidrogenação são descritas pelas Eqs. 1 e 2, as quais requerem o uso de catalisadores.

$$NH_3BH_3 + 2 H_2O \rightarrow NH_4^+ + BO_2^- + 3 H_2$$
 (Eq. 1)

 $HCOOH \rightarrow CO_2 + H_2$  (Eq. 2)

Catalisadores heterogêneos baseados em nanopartículas metálicas (NPs) demonstram eficiência na produção de hidrogênio (H<sub>2</sub>) a partir desses armazenadores. Contudo, a elevada energia superficial característica desses sistemas pode induzir agregação das NPs, comprometendo sua estabilidade, reciclabilidade e desempenho catalítico sob condições operacionais adversas.<sup>1</sup> A combinação dessas NPs com materiais suporte, como MnWO4, melhora a eficiência catalítica, reduz a aglomeração de sítios ativos, aumenta a área superficial e favorece a dispersão da fase ativa, tornando-os alternativas viáveis para aplicação generalizada.<sup>2</sup> Diversas metodologias têm sido empregadas para a síntese de MnWO4, destacando-se a abordagem hidrotérmica simplificada, sem emprego de surfactantes,<sup>3</sup> e a síntese assistida por microondas.<sup>4</sup> Neste contexto, o presente trabalho propõe a síntese de cerâmicas de MnWO<sub>4</sub> por duas rotas sintéticas diferentes, com subsequente avaliação de seu potencial catalítico para liberação de H2 através de reações de hidrólise, utilizando como substratos AF e BA.

# **Experimental**

Síntese do MnWO<sub>4</sub>

Método hidrotérmico (HT): precursores estequiométricos de Na<sub>2</sub>WO<sub>4</sub>·2H<sub>2</sub>O e MnCl<sub>2</sub> foram dissolvidos em água tipo 1 e homogeneizados sob agitação. A solução resultante foi transferida para uma autoclave e submetida a tratamento térmico a 150 °C por 3 h. Após o resfriamento à temperatura ambiente, o produto obtido foi lavado com água tipo 1 e seco a 70 °C.

Método assistido por microondas (MW): precursores estequiométricos de Na₂WO₄·2H₂O e Mn(NO₃)₂·xH₂O foram dissolvidos em água tipo 1 e homogeneizados sob agitação vigorosa. A reação foi conduzida a 150 ± 1 °C por 20 minutos, promovendo a formação do MnWO₄. Em seguida, o produto foi lavado com água tipo 1 e seco a 70 °C.

Síntese dos nanocatalisadores

Para a síntese dos nanocatalisadores NPs/MnWO4-HT e NPs/MnWO4-MW, 20 mg do suporte foram dispersos em 5 mL de água tipo 1 sob agitação constante. Em seguida, foram adicionados 6 mmol% de paládio, em relação à quantidade de ácido fórmico (AF), e 6 mmol% de rutênio, em relação ao borano de amônio (BA). Para a redução dos íons metálicos na superficie do MnWO4, cada sistema recebeu 1,00 mL de solução de NaBH4 (0,50 mol·L<sup>-1</sup>). Após a redução, os materiais foram centrifugados a 4000 rpm, lavados com água tipo 1 e submetidos a três ciclos adicionais de centrifugação e lavagem sob as mesmas condições.



Evolução de hidrogênio a partir do NH3BH3 e HCOOH

Os nanocatalisadores foram dispersos em 2,00 mL de água tipo 1 e transferidos para o sistema reacional, composto por um tubo de Schlenk acoplado a uma bureta preenchida com água, utilizada para quantificação do H<sub>2</sub> por meio do deslocamento de líquido. Nos ensaios com Ru NPs/MnWO<sub>4</sub>-HT ou Ru NPs/MnWO<sub>4</sub>-MW, conduzidos a 298,15 K (25 °C), foi adicionada 1,00 mL de solução de borano de amônio (BA) a 0,58 mol·L<sup>-1</sup>. Já nos experimentos com Pd NPs/MnWO<sub>4</sub>-HT ou Pd NPs/MnWO<sub>4</sub>-MW, realizados a 333,15 K (60 °C), empregou-se 1,00 mL de solução de ácido fórmico (AF) a 1,00 mol·L<sup>-1</sup> contendo formiato de sódio (FS) na razão molar FS/AF de 3:1, previamente preparada pela dissolução do FS na solução de AF.

# Resultados e Discussão

Os materiais MnWO<sub>4</sub>-HT e MnWO<sub>4</sub>-MW foram caracterizados por Espectroscopia no Infravermelho por Transformada de Fourier (FTIR) e Difração de raios X (DRX). A análise por FTIR, apresentada na Figura 1(a), apresentou uma banda de absorção característica do MnWO<sub>4</sub> em 808 cm<sup>-1</sup>, atribuída às vibrações simétricas dos grupos Mn-W-O. Bandas adicionais em 670 e 574 cm<sup>-1</sup> foram associadas às vibrações de alongamento assimétrico da ligação W-O.5 A técnica DRX, Figura 1(b), confirmou a síntese bemsucedida dos materiais, com padrões indexados à estrutura monoclínica do tipo wolframita (JCPDS No. 01-080-0152). A presença do MnWO4 foi confirmada por meio de picos característicos nos difratogramas de DRX, localizados nos ângulos  $2\theta$  de  $15,3^{\circ}$ (plano 010),  $23.5^{\circ}$  (011),  $29.8^{\circ}$  (-111),  $40.8^{\circ}$  (102),  $52.9^{\circ}$  (221), entre outros planos cristalográficos, compatíveis com a fase monoclínica tipo wolframita. Resultados semelhantes foram reportados por Kumar et al.,6 que sintetizaram MnWO4 via método hidrotérmico (180 °C, 12 h) utilizando Na<sub>2</sub>WO<sub>4</sub>·2H<sub>2</sub>O e Mn(CH<sub>3</sub>COO)<sub>2</sub> como precursores.

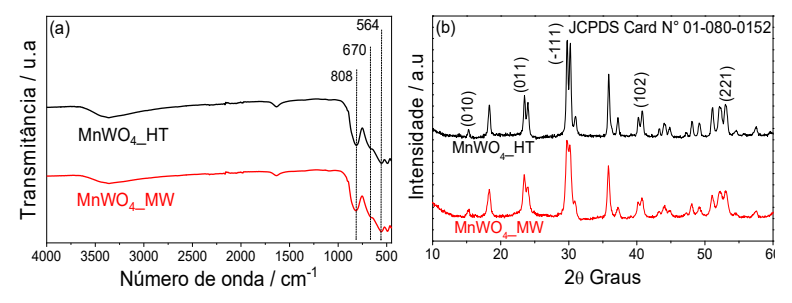
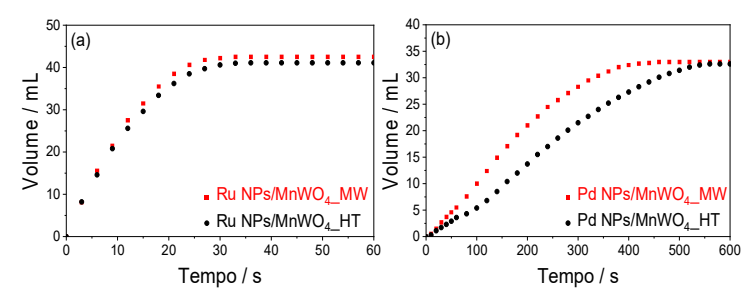


Figura 1. (a) FTIR e (b) DRX do MnWO<sub>4</sub>-HT e MnWO<sub>4</sub>-MW.

Os ensaios de evolução de hidrogênio foram conduzidos utilizando NPs Ru para a desidrogenação do BA e NPs Pd para a desidrogenação do AF, ambas suportadas em MnWO4 sintetizados pelos métodos HT e MW. Os resultados são mostrados na Figura 2. Na evolução do BA, o Ru NPs/MnWO4-MW exibiu uma taxa de geração de hidrogênio (HGR) de 29784 mL·min<sup>-1</sup>·g<sup>-1</sup>, enquanto o Ru NPs/MnWO4-HT apresentou HGR de 27298 mL·min<sup>-1</sup>·g<sup>-1</sup>. Na evolução do AF, o Pd NPs/MnWO4-MW exibiu uma frequência de rotatividade (TOF) de 102 h<sup>-1</sup>, e o Pd NPs/MnWO4-HT apresentou TOF de 66 h<sup>-1</sup>.



Como mostrado na Figura 2 (a-b), em todos os ensaios a cinética e o volume produzido foram superiores quando o nanocatalisador empregado foi suportado no material MnWO<sub>4</sub>-MW.



**Figura 2**. Evolução de  $H_2$ . Condições: (a) 1,00 mL de solução de  $NH_3BH_3$  a 0,58 mol  $L^{-1}$  a 298,15 K. (b) 1,00 mL de solução de HCOOH a 1,00 mol  $L^{-1}$  contendo FS em razão molar FS/AF de 3:1 a 333,15 K.

## Conclusões

Os materiais MnWO<sub>4</sub>-HT e MnWO<sub>4</sub>-MW foram sintetizados e caracterizados com sucesso por FTIR e DRX. Quando empregados como suportes catalíticos, ambos demonstraram eficiência na geração de H<sub>2</sub> a partir de NH<sub>3</sub>BH<sub>3</sub> e HCOOH, com destaque para o MnWO<sub>4</sub>-MW. Esses resultados indicam que a síntese por microondas gera materiais com propriedades catalíticas superiores, evidenciando seu potencial para aplicações na produção limpa de hidrogênio.

# Agradecimentos

Os autores agradecem ao CNPq (Processos: 312400/2021-7; 405828/2022-5; 407799/2022-2), à FAPEMIG (APQ-01275-18; RED-00144-22, APQ-03572-23), à CAPES e Universidade Federal de Viçosa (UFV).

## Referências

- 1. Sun, Q.; Wang, N.; Xu, Q.; Yu, J. Nanopore-Supported Metal Nanocatalysts for Efficient Hydrogen Generation from Liquid-Phase Chemical Hydrogen Storage Materials. *Advanced Materials* **2020**.
- 2. Kiren, B.; Ayas, N. Nickel modified dolomite in the hydrogen generation from sodium borohydride hydrolysis; *Int J Hydrogen Energy* **2022**, *47*, 19702.
- 3. Wang, Y.; Yang, L.; Wang, Y.; Wang, X.; Han, G. Morphology-controlled synthesis and characterization of MnWO<sub>4</sub> nanocrystals via a facile, additive-free hydrothermal process. *J Alloys Compd* **2016**, 654, 246–250.
- 4. Naik, K. K.; Gangan, A. S.; Pathak, A.; Chakraborty, B.; Nayak, S. K.; Rout, C. S.; Facile Hydrothermal Synthesis of MnWO<sub>4</sub> Nanorods for Non-Enzymatic Glucose Sensing and Supercapacitor Properties with Insights from Density Functional Theory Simulations. *ChemistrySelect* **2017**, *2*, 5707.
- 5. Pirhashemi, M.; Habibi-Yangjeh, A. Fabrication of novel ZnO/MnWO4 nanocomposites with p-n heterojunction: Visible-light-induced photocatalysts with substantially improved activity and durability. ; *J Mater Sci Technol* **2018**, *34*, 1891.
- 6. Kumar, K. S.; Vaishnavi, K.; Venkataswamy, P.; Ravi, G.; Ramaswamy, K.; Vithal, M. Photocatalytic degradation of methylene blue over N-doped MnWO<sub>4</sub> under visible light irradiation; *Journal of the Indian Chemical Society* **2021**, *98*.